

# MODULADORES SIGMA- DELTA

*Electrónica III*

Filipe Perestrelo nº39656

Maio de 2016





## Índice

Introdução .....	3
Consolidação das especificações .....	4
Simulação no <i>MatLab</i> .....	7
Simulação no <i>LTSpice</i> .....	15
Conclusão.....	22
Anexos.....	23

# INTRODUÇÃO

Este trabalho teve como objectivo fazer o *design* e simular um conversor analógico-digital (ADC) para sinais, cuja banda vai até 16kHz. Começou-se por construir um modulador sigma-delta de segunda ordem e de seguida procedeu-se aos cálculos.

Foi pedido para considerar que as amostras de saída eram emitidas a uma frequência de 48kHz e que, para um sinal de amplitude máxima, a sua THD (*Total Harmonic Distortion*) seria de -76dB, sendo que a mesma (amplitude máxima) seria de 0.9Vrms. Foi também pedido para considerar que a SNR (*Signal to Noise Ratio*) mínima seria de 8dB para um sinal cuja amplitude mínima seria de 0.08mVrms.

Para realizar este trabalho, foi necessário recorrer a ferramentas, como o programa *MatLab*, maioritariamente para efectuar cálculos e apresentar gráficos, e o programa *LTSpice*, maioritariamente para desenho de circuitos e simulação dos mesmos.

Foi também pedido, como tarefa opcional, para realizar o mesmo, mas para um modulador sigma-delta com a arquitectura MASH (2+1).

Este trabalho pôde ser dividido em cinco partes. Na primeira parte, consolidaram-se as especificações do ADC, realizando cálculos e fazendo esboços do que se iria esperar. Na segunda parte, tratou-se do modulador, arranjando as expressões matemáticas que permitiram a observação do sinal dentro do mesmo (modulador). Na terceira parte, introduziu-se um filtro decimador e observou-se o efeito que este tinha no SNR do sinal. Na quarta parte, fez-se simulações de modo a variar as amplitudes do sinal, bem como a saturação dos integradores dentro do modulador, utilizando a ferramenta *MatLab*. Na quinta parte, simulou-se o circuito no programa *LTSpice* e observou-se os gráficos obtidos do sinal em determinados pontos do circuito. Por fim, foi-nos pedido para realizar todas as outras partes para o modulador sigma-delta com a arquitectura MASH (2+1).

# CONSOLIDAÇÃO DAS ESPECIFICAÇÕES

Esta parte começou pela análise do esquema em blocos do ADC (figura 1) e fez-se o esboço do SINAD (*Signal-to-Noise And Distortion ratio*) que neste caso correspondia ao SNDR (figura 2) visto não haver distorção para amplitudes muito pequenas.

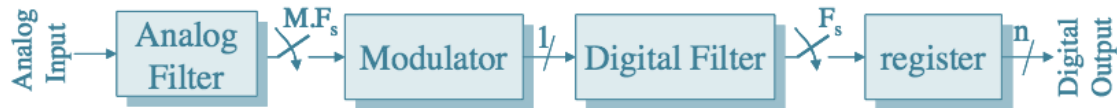


Figura 1 – Esquema em blocos do ADC

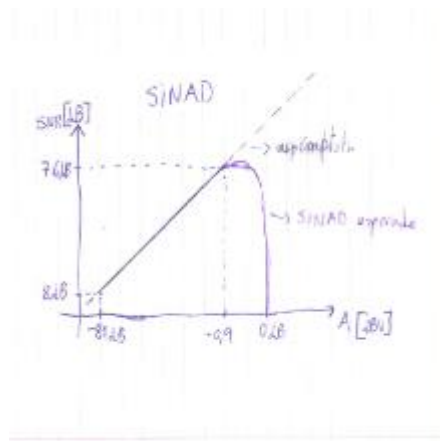


Figura 2 - Esboço do SINAD esperado

Como se pode ver pela SINAD, o ponto que corresponde ao pior caso, é o ponto onde pode haver distorção harmónica, ou seja será quando a amplitude do sinal de entrada for tão pequena que este se confundirá com o ruído térmico. Neste caso o ponto onde isso ocorre será com uma amplitude de  $0.08 \times 10^{-3} \text{Vrms}$  que corresponde a aproximadamente -81dB. Nesse ponto temos um SNDR/SINAD de 8dB como seria de esperar. É de notar que a SINAD é aproximadamente uma recta, porque estamos a desprezar a distorção, pois estamos dentro da banda de funcionamento do ADC.

Assumi-se que o modulador começava a saturar para sinais 5 dB abaixo da tensão de referência. Com esta informação foi possível calcular essa tensão, através da equação 1:

**Equação 1**

$$SNR = 20 \times \log_{10} \left( \frac{V_{amp}}{V_{ref}} \right)$$

Sendo  $V_{amp}=1V$  para garantir uma margem mínima e  $SNR=-5dB$  chegou-se à equação 2:

**Equação 2**

$$V_{ref} = 10^{\frac{5}{20}}$$

Concluiu-se que  $V_{ref}=1.7783 V_{rms}$ . Esse valor foi transformado em V (Volt) através da equação 3:

**Equação 3**

$$V = \sqrt{2} \times V_{rms}$$

Obteve-se o valor de  $V_{ref}$  de 2.5149V.

De seguida calculou-se o máximo de ruído permitido na saída deste ADC para se obter aquele esboço de SNDR/SINAD. Neste ponto considerou-se o pior caso, ou seja,  $SNDR=SNR_{min}=8dB$ , que correspondia a uma amplitude de  $0.08 \times 10^{-3}V$  para  $V_{ref}$ . Calculou-se então a potência de sinal para esse ponto através da equação 4:

**Equação 4**

$$P_s = V_{ref}^2$$

Como este valor estava em  $V_{rms}^2$ , foi necessário convertê-lo para dB, logo utilizou-se a equação 5 para tal:

**Equação 5**

$$P_s[dB] = 10 \times \log_{10}(P_s)$$

Obteve-se então o valor da potência de sinal (em dB) de -81.9382dB.

A partir deste valor, foi possível calcular a potência de ruído total pela equação 6:

**Equação 6**

$$P_{NT}[dB] = SNDR[dB] - P_s[dB]$$

Tendo este valor, obteve-se o valor W (Watt) da potência de ruído total através da equação 7:

**Equação 7**

$$PNT = 10^{\frac{PNT[dB]}{10}}$$

O valor foi de  $1 \times 10^{-9} \text{W}$ .

Assumiu-se ainda que a potência do erro térmico ( $P_{tn}$ ) era três vezes maior do que a potência do erro de quantização ( $P_{qn}$ ). Assim, tendo já calculado a potência total e sabendo através da equação 8 que a potência do ruído total é igual à soma das potências do erro térmico e do erro de quantização, pôde-se calcular cada um dos ruídos:

**Equação 8**

$$PNT = P_{tn} + P_{qn}$$

O valor obtido para  $P_{tn}$  foi de  $7.6 \times 10^{-10} \text{V}_{rms}$  e para  $P_{qn}$  obteve-se o valor de  $2.5 \times 10^{-10} \text{V}_{rms}$ . Para converter estes valores para decibéis, foi necessário a utilização da equação 9:

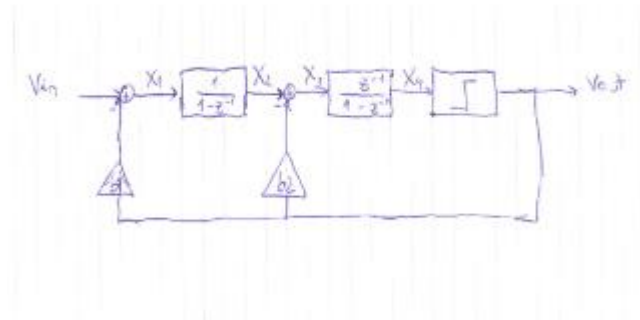
**Equação 9**

$$dBV = 20 \times \log_{10}(\sqrt{P})$$

Substituindo na expressão  $P$  primeiro por  $P_{tn}$  e depois por  $P_{qn}$ , obteve-se os valores -91dB e -96dB respectivamente.

# SIMULAÇÃO NO *MATLAB*

Nesta parte, estudou-se o comportamento do modulador de segunda ordem. Desta feita, foi necessário “desenhar” o modulador em diagrama de blocos (figura 3) e fazer os cálculos necessários para demonstrar qual a sua função de transferência de sinal ( $STF(z)$ ) e a sua função de transferência de ruído( $NTF(z)$ ).



**Figura 3 - Modulador de segunda ordem**

Como se pode ver pela imagem foram definidos quatro pontos para o cálculo de expressões que mais tarde simplificariam o cálculo de de  $NTF(z)$  e de  $STF(z)$ .

Em X1 (entrada do primeiro integrador) obteve-se a expressão 10:

**Equação 10**

$$X1 = Vin - Vout \times b1$$

Em X2 (saída do primeiro integrador) obteve-se a expressão 11:

**Equação 11**

$$X2 = \frac{X1}{1 - z^{-1}} = \frac{Vin - Vout \times b1}{1 - z^{-1}}$$

Em X3 (entrada do segundo integrador) obteve-se a expressão 12:

**Equação 12**

$$X3 = X2 - Vout \times b2 = \frac{Vin - Vout \times b1}{1 - z^{-1}} - Vout \times b2$$

Em X4 (saída do segundo integrador) obteve-se a expressão 13:

**Equação 13**

$$X4 = X3 \times \frac{z^{-1}}{1 - z^{-1}} = \left[ \frac{Vin - Vout \times b1}{1 - z^{-1}} - Vout \times b2 \right] \times \frac{z^{-1}}{1 - z^{-1}}$$



Finalmente, em  $V_{out}$  obteve-se a expressão 14:

$$V_{out} = X4 + V_Q = \left[ \frac{V_{in} - V_{out} \times b1}{1 - z^{-1}} - V_{out} \times b2 \right] \times \frac{z^{-1}}{1 - z^{-1}} + V_Q \Leftrightarrow$$

Com:  $b1 = b2 = 1$ , vem

**Equação 14**

$$\Leftrightarrow V_{out} = V_{in} \times z^{-1} + V_Q(1 - z^{-1})^2$$

Depois de se ter obtido a expressão de  $V_{out}$ , procedeu-se ao cálculo das expressões da  $NTF(z)$ , com  $V_{in}=0$ , que se encontra na equação 15 e da  $STF(z)$ , com  $V_Q=0$ , que se encontra na equação 16:

**Equação 15**

$$NTF(z) = (1 - z^{-1})^2$$

**Equação 16**

$$STF(z) = z^{-1}$$

De seguida procedeu-se ao cálculo da expressão da potência do ruído de quantização na saída do modulador, assumindo que a saída era filtrada por um filtro passa-baixo ideal de frequência de corte igual a  $B$ . Para isso recorreu-se à expressão 17:

**Equação 17**

$$V_{QN_{rms}}^2 = \int_{-B}^B S_{VQ}(f) \times \left| NTF(e^{j2\pi f/Fs}) \right|^2 df$$

Sabe-se que  $S_{VQ}(f)$  é a potência de sinal dada pela expressão 18:

**Equação 18**

$$S_{VQ} = \frac{V_{lsb}^2}{12 \times F_s}$$

Sabe-se ainda que  $OSR$  (*Over Sampling Ratio*) é dado pela expressão 19:

**Equação 19**

$$OSR = \frac{F_s}{2 \times B}$$

Assim, a expressão 17 foi resolvida, tornando-se numa expressão muito mais simples:

$$V_{QN_{rms}}^2 = \int_{-B}^B \frac{Vlsb^2}{12 \times Fs} \times \left| (1 - e^{\frac{j2\pi f}{Fs}})^2 \right|^2 df \approx \frac{Vlsb^2}{12 \times Fs} \times \int_{-B}^B \left| \frac{-j2\pi f^2}{Fs} \right|^2 df$$

$$\approx \frac{Vlsb^2 \times 2^5 \times \pi^4 \times B^5}{12 \times Fs^5}, \text{ pela expressão 19, vem}$$

**Equação 20**

$$V_{QN_{rms}}^2 = \frac{Vlsb^2 \times \pi^4}{12} \times \left( \frac{1}{OSR} \right)^5$$

Assim, pela expressão 20, foi possível saber qual o OSR mínimo para que o modulador tivesse um erro de quantização (Pnq) menor do que o tinha sido calculado anteriormente, isto é,  $Vnq^2 < 2.5 \times 10^{-10} V_{rms}$ . O valor calculado foi OSR=96.1074. Este valor foi arredondado para a potência de 2 mais próxima, ou seja,  $2^n > 96.1074$  e portanto,  $2^n = 128$ .

Para calcular o número de bits da saída digital de modo a ter uma potência de ruído de quantização 10dB menor do que a potência de ruído total, utilizou-se a equação 21:

**Equação 21**

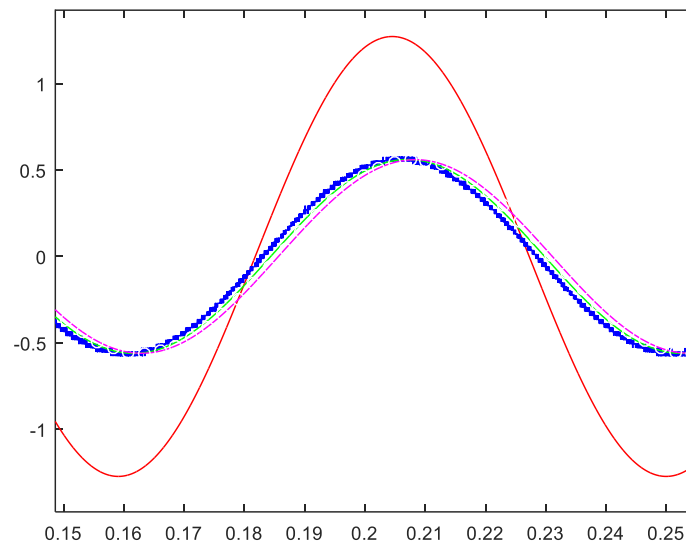
$$V_{QN_{rms}}^2 = \frac{Vref^2}{2^n}$$

Assim, desenvolvendo a equação 21, chegou-se à expressão 22:

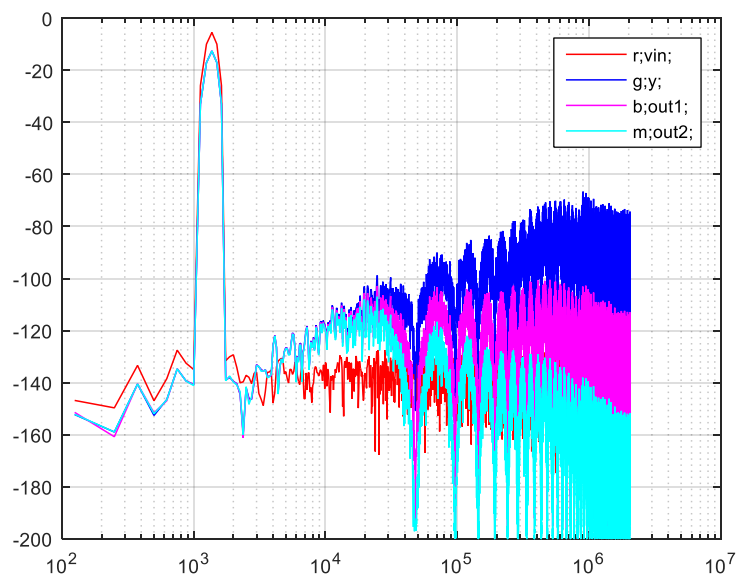
$$n = \frac{1}{2} \times \log_2 \left( \frac{Vref^2}{V_{QN_{rms}}^2} \right)$$

Obteve-se então, o valor para n de 17 bit.

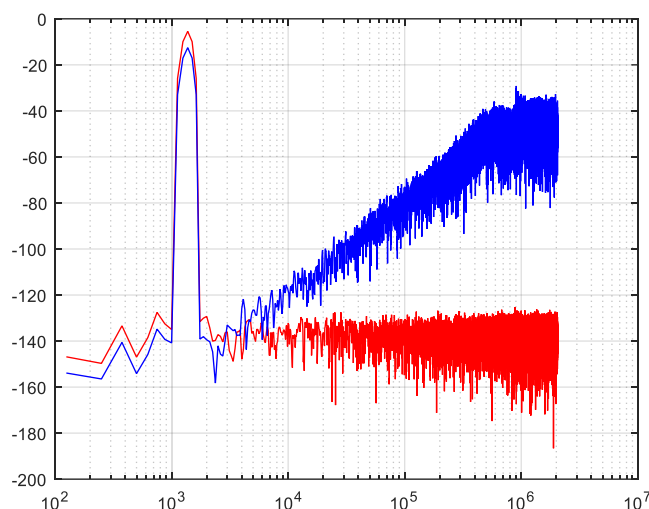
Simulando no *MatLab*, obteve-se os gráficos do comportamento, do modulador. Nesta simulação obteve-se o gráfico do comportamento do filtro decimador de terceira ordem (figura 4), o gráfico das transformadas de *Fourier* do filtro *sync* (figura 5), o gráfico das transformadas de *Fourier* do sinal de entrada e do sinal de saída (figura 6) e o gráfico da saída decimada (figura 7). Com as especificações calculadas anteriormente, calculou-se o SNDR, tendo-se obtido o valor de 86dB, para um sinal de amplitude 1.2728V.



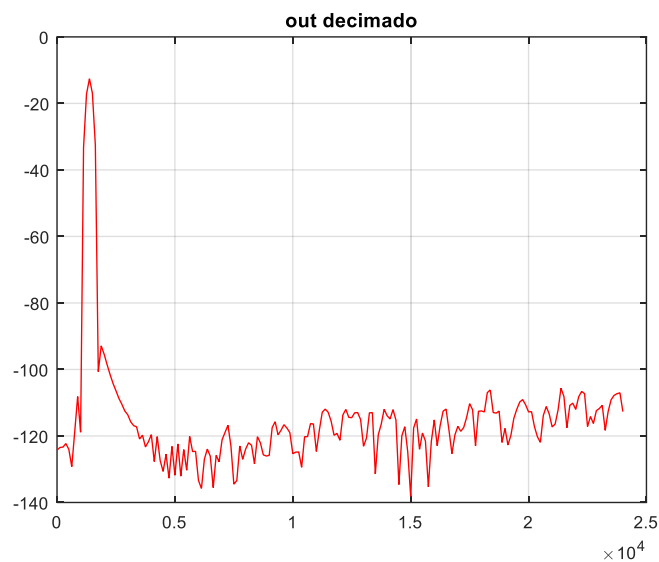
**Figura 4 – Sinal de entrada (vermelho), saída do primeiro integrador (azul), saída do segundo integrador (verde) e sinal de saída (magenta)**



**Figura 5 – Transformadas de Fourier do sinal de entrada (vermelho), da saída do primeiro integrador (azul escuro), da saída do segundo integrador (magenta) e do do sinal de saída (azul cyan)**



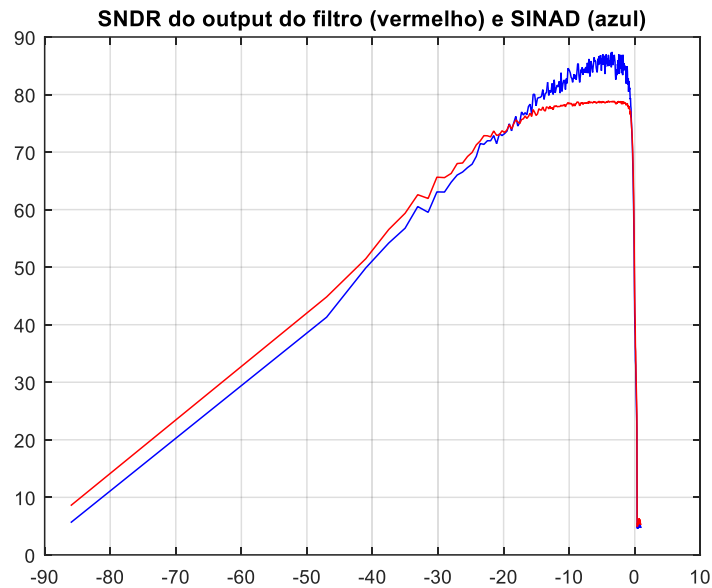
**Figura 6 – Transformadas de Fourier do sinal de entrada (vermelho) e da saída decimada (azul)**



**Figura 7 – Saída decimada**

Pelos gráficos pode-se concluir que as especificações foram verificadas. O SNDR deu algo próximo do que se esperava, visto que a SINAD só se começa a degradar depois dos 1dB, logo o sinal ainda consegue aumentar o seu SNDR.

Através da simulação pelo MatLab, colocou-se a amplitude do sinal a variar entre  $0.08 \times 10^{-3}V$  e  $2 \times V_{ref}$ , de modo a que se pudesse ver bem a acentuação da SINAD. Conseguiu-se obter a SNDR à saída do filtro decimador (figura 8).

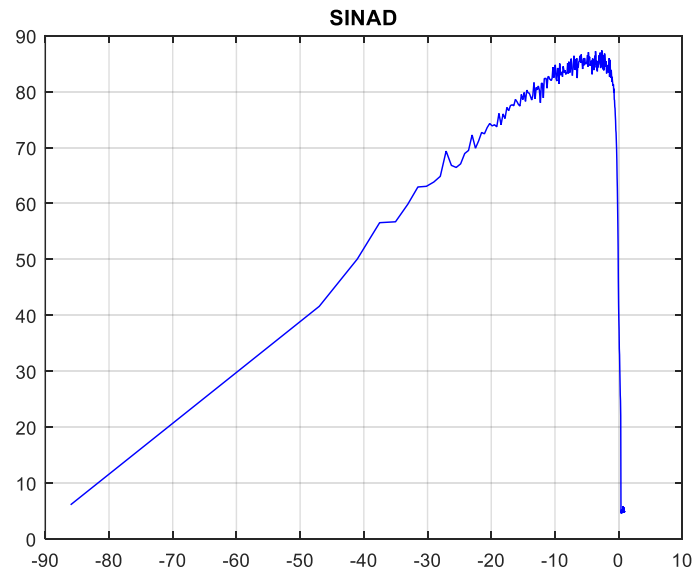


**Figura 8 – SNDR do sinal de entrada (azul) e SNDR do sinal de saída do filtro**

Nota-se claramente no gráfico, que a saída do filtro, ao contrário do SNDR do sinal, satura antes de chegar a 80dB, tendo como SNDR máximo um valor próximo de 76dB (neste caso de 78.90dB) como seria de esperar.

Este filtro produz uma amostra para cada N amostras que estiverem presentes na entrada. Consegue também atenuar o ruído de quantização do modulador presente nas altas frequências. Consegue também “empurrar” o ruído presente no sinal para as altas frequências.

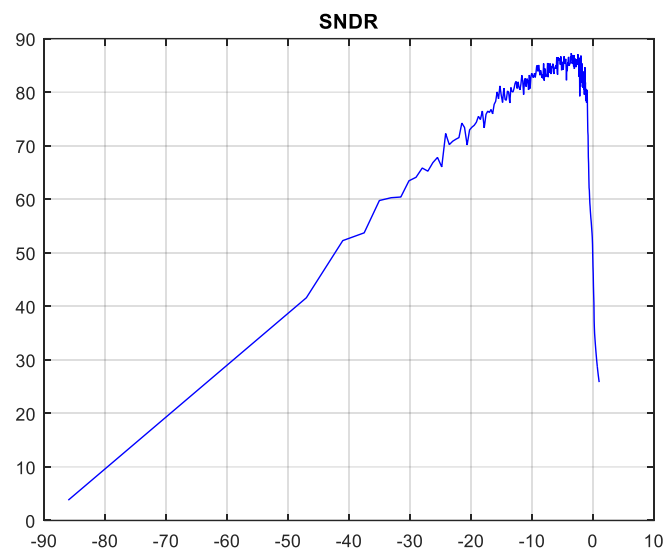
Fez-se a simulação do ADC. Começou por se verificar a SNDR do sinal de entrada apenas (figura 9).



**Figura 9 – SNDR do sinal de entrada**

Como já foi referido anteriormente, a SNDR do sinal de entrada, realmente satisfaz os requisitos do sistema. A frequência do sinal de entrada situa-se perto dos 1kHz (1.375kHz).

De seguida introduziu-se distorção na entrada de cada integrador e na saída do sinal, de modo a que esta “eliminasse” os sinais com amplitude superior 0.9Vrms. O resultado encontra-se na figura 10.



**Figura 10 – SNDR do sinal de saída saturado**

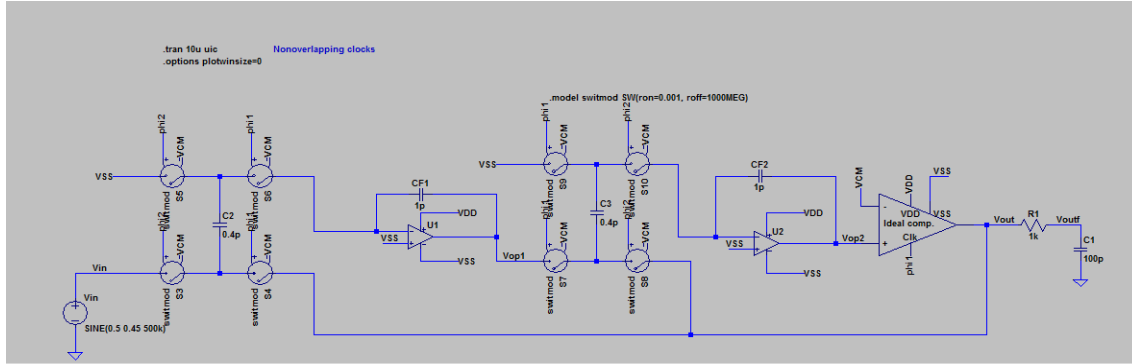
Embora sejam gráficos muito semelhantes, é de notar que neste último, a SNDR começa a “cair mais cedo” do que no anterior. Isto acontece, porque a

saturação à entrada de cada integrador, faz limitar o sinal, denegrindo a sua SNDR.

Os códigos em *MatLab*, encontram-se nos anexos.

# SIMULAÇÃO NO *LTSPICE*

Para teste deste circuito, foi necessário a utilização da ferramenta *LTSpice*. Através deste programa, começou-se por desenhar o esquemático do circuito a implementar (figura 11).



**Figura 11 – Esquemático do modelador de segunda ordem**

Para o cálculo do valor dos condensadores, recorreu-se à fórmula 22:

**Equação 22**

$$H(z) = \frac{Vout(z)}{Vin(z)} = \frac{CF1}{C2} \times \frac{z^{-1}}{1 - z^{-1}} = \frac{CF2}{C3} \times \frac{z^{-1}}{1 - z^{-1}}$$

Chegou-se à conclusão que, para condensadores de realimentação de capacidade 1pF, os outros condensadores teriam de ter 0.4pF de capacidade.

Observou-se então os gráficos para se verificar se de facto correspondiam à simulação realizada no *MatLab*. Assim, observou-se o sinal de saída, já filtrado (figura 12) bem como a sua transformada de Fourier (figura 13), o sinal de saída do circuito sem estar filtrado (figura 14) e a sua transformada de Fourier (figura 15), o sinal de saída do segundo integrador (figura 16) e a sua transformada de Fourier (figura 17), o sinal de saída do primeiro integrador (figura 18) e a sua transformada de Fourier (figura 19), quando tínhamos um sinal de entrada com as características descritas anteriormente (figura 20).



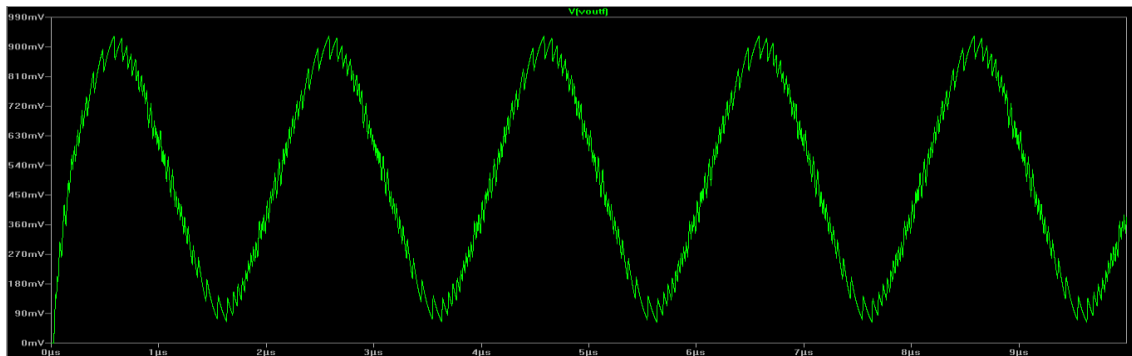


Figura 12 – Sinal de saída do modulador (filtrado)

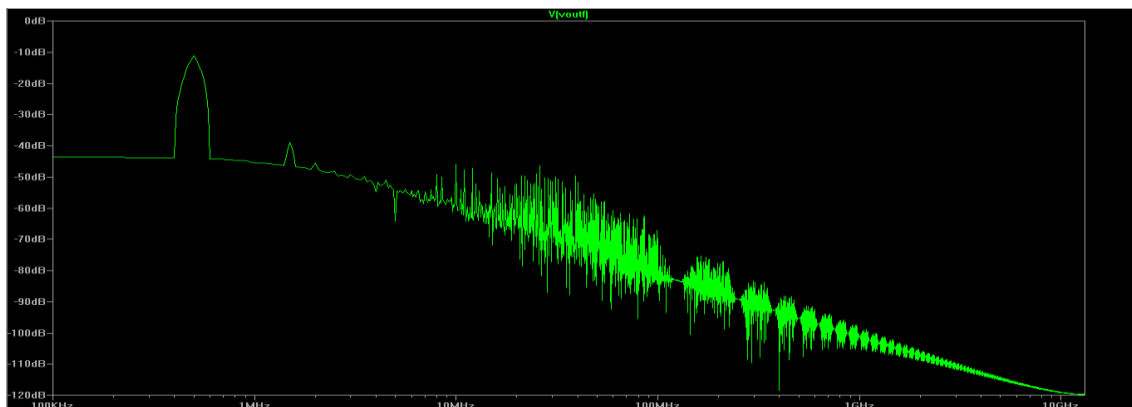


Figura 13 – Espectro na frequência (transformada de Fourier) do sinal de saída do modulador (filtrado)

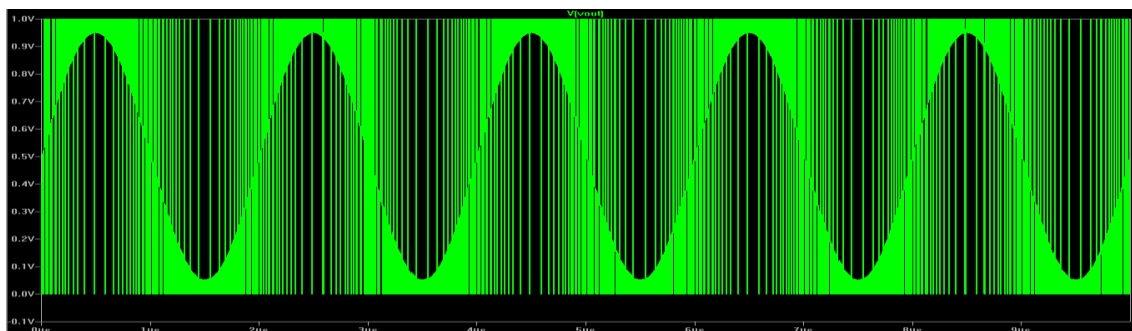


Figura 14 – Sinal de saída do modulador (não filtrado)

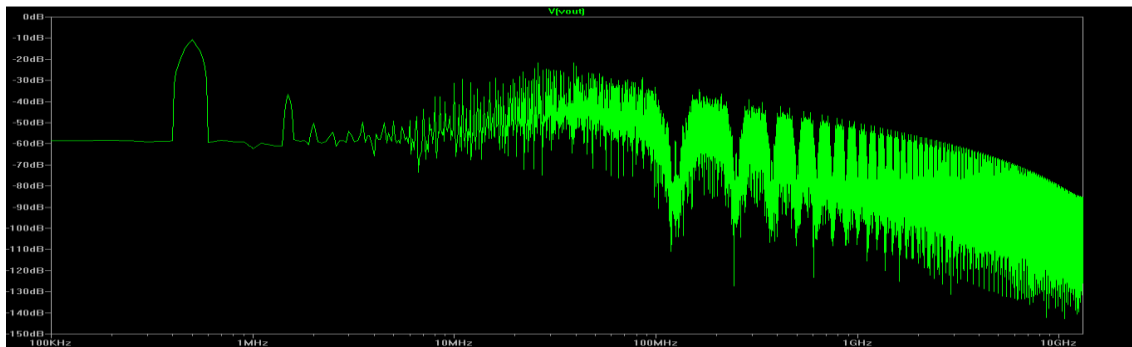


Figura 15 - Espectro na frequência (transformada de Fourier) do sinal de saída do modulador (não filtrado)

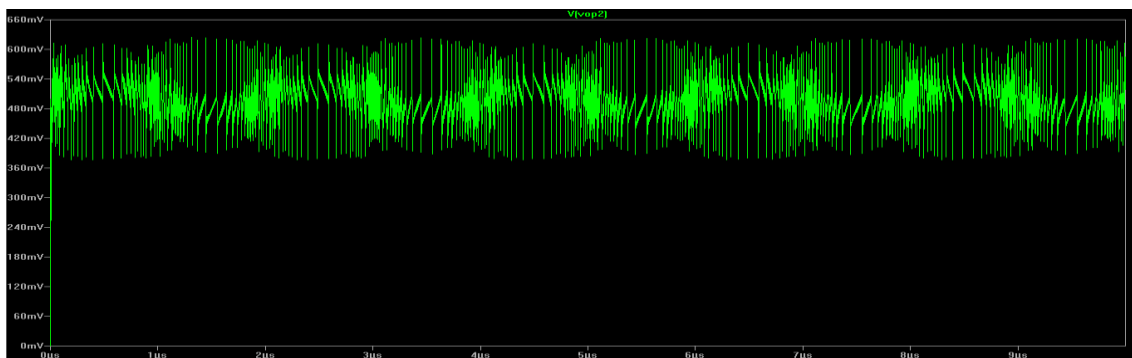


Figura 16 - Sinal de saída do segundo integrador

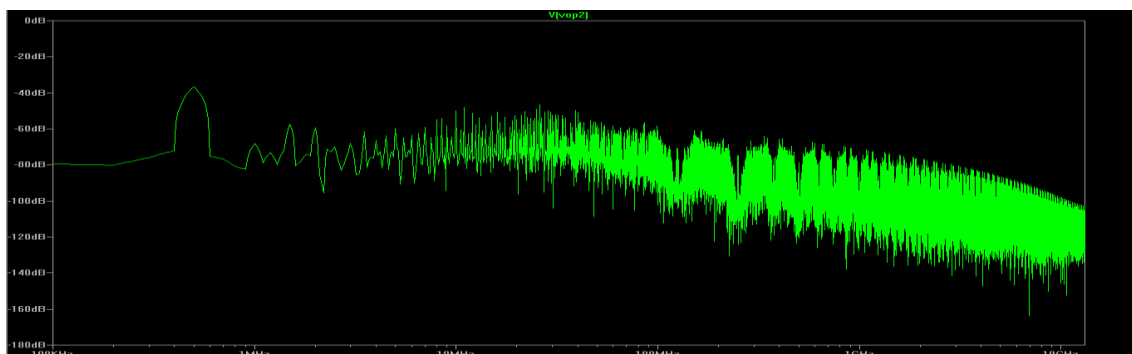


Figura 17 - Espectro na frequência (transformada de Fourier) do sinal de saída do segundo integrador

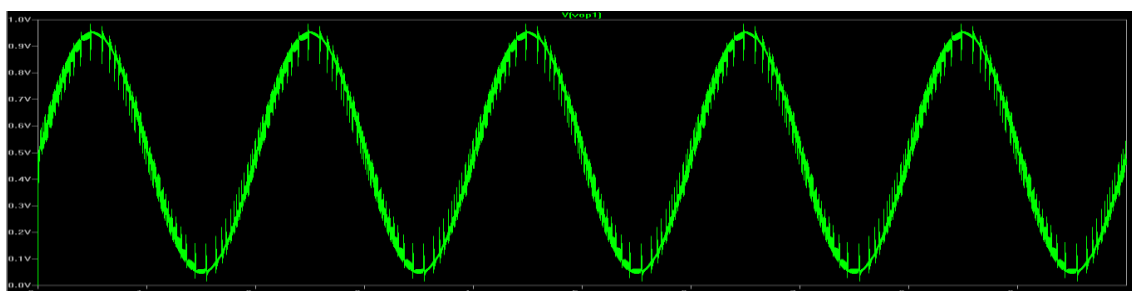
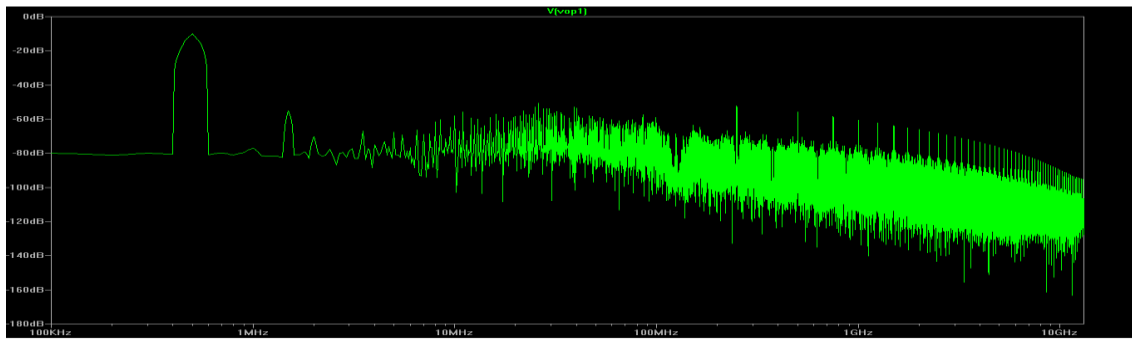
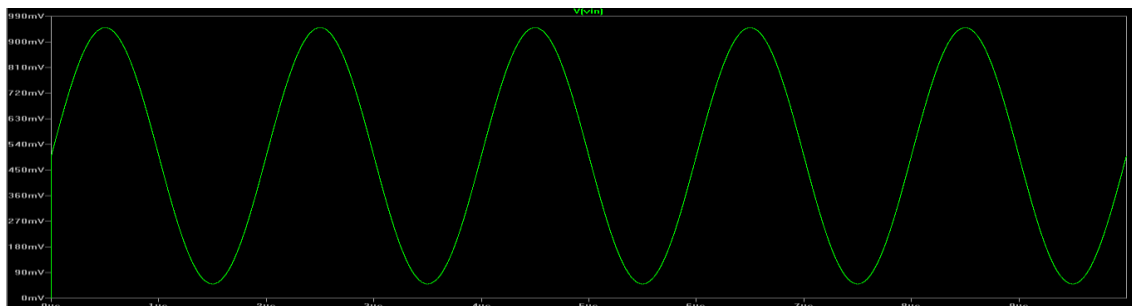


Figura 18 - Sinal de saída do primeiro integrador

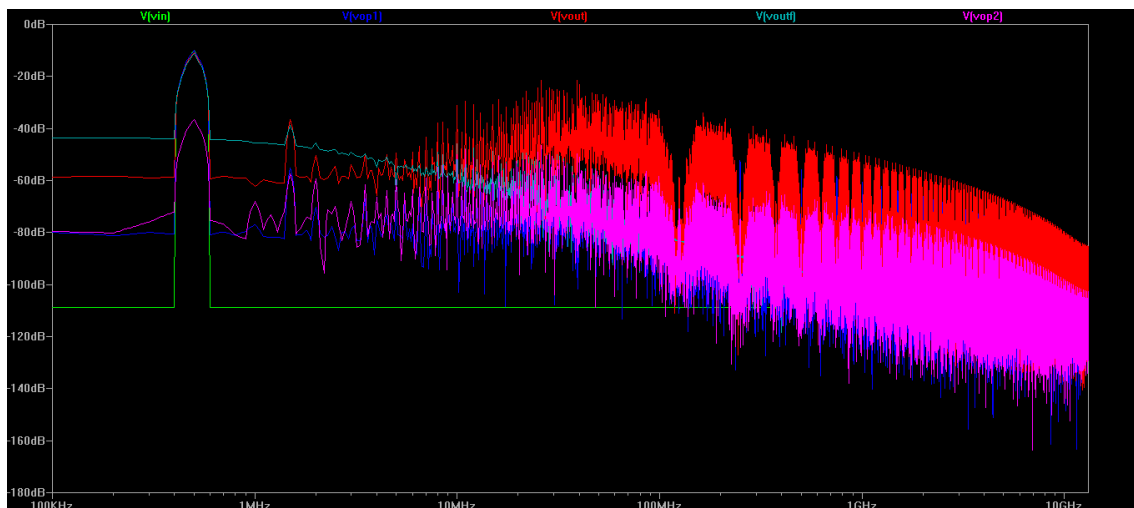


**Figura 19 - Espectro na frequência (transformada de Fourier) do sinal de saída do primeiro integrador**



**Figura 20 – Sinal de entrada do modulador**

Para se ter uma melhor noção do que está a acontecer na frequência, sobrepõem-se todos os espectros no mesmo gráfico (figura 21).



**Figura 21 – Espectros na frequência do sinal de entrada (verde), da saída do primeiro integrador (azul escuro), da saída do segundo integrador (magenta), do sinal de saída do modulador não filtrado (vermelho) e do sinal de saída do modulador filtrado (cyan)**

A partir da figura 21 pode-se concluir que os gráficos correspondem ao esperado, pois o sinal de entrada está definido apenas com uma harmónica (fundamental) e os restantes apresentam um comportamento *sinc* como já tinha sido visto na simulação pelo *MatLab*, tendo como principal harmónica, a mesma do sinal de entrada.

Depois desta simulação, foi introduzida saturação nos integradores, o que fez com que se esperasse uma degradação do sinal na saída. Partiu-se então para a observação dos gráficos nos mesmos pontos, ou seja observou-se novamente o sinal de saída, já filtrado (figura 22) bem como a sua transformada de Fourier (figura 23), o sinal de saída do circuito sem estar filtrado (figura 24) e a sua transformada de Fourier (figura 25), o sinal de saída do segundo integrador (figura 26) e a sua transformada de Fourier (figura 27), o sinal de saída do primeiro integrador (figura 28) e a sua transformada de Fourier (figura 29), para o mesmo sinal de entrada.

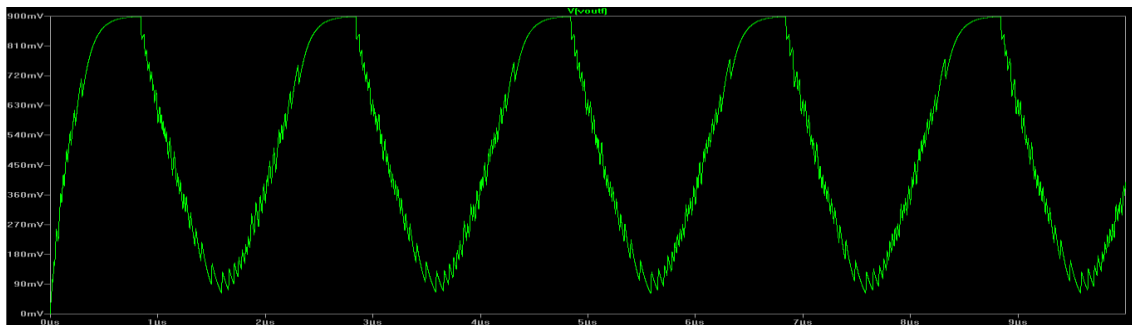


Figura 22 - Sinal de saída do modulador (filtrado)

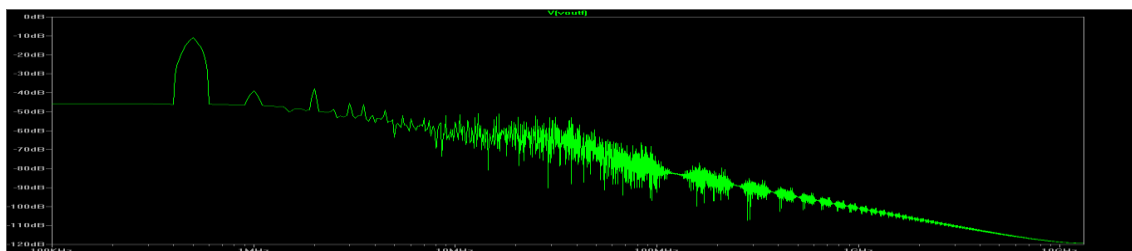


Figura 23 - Espectro na frequência (transformada de Fourier) do sinal de saída do modulador (filtrado)

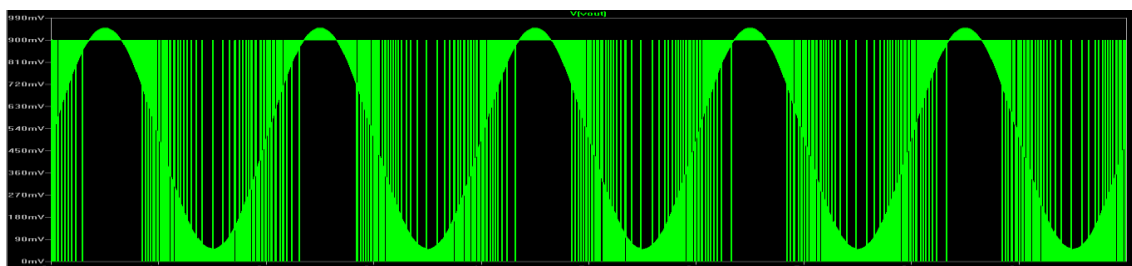


Figura 24 - Sinal de saída do modulador (não filtrado)

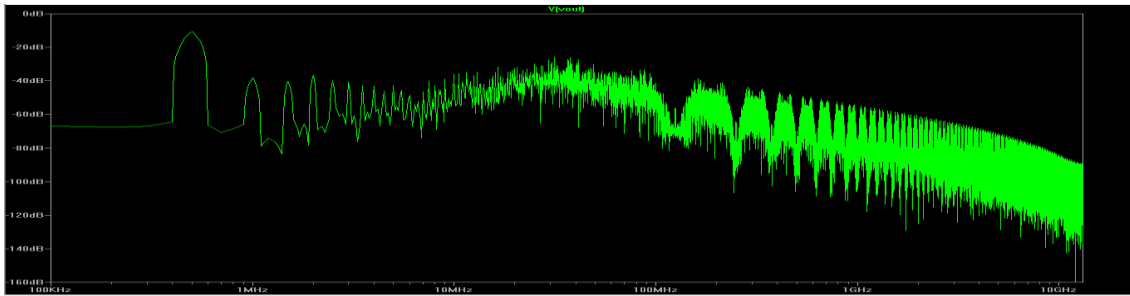


Figura 25 – Espectro na frequência (transformada de Fourier) do sinal de saída do modulador (não filtrado)

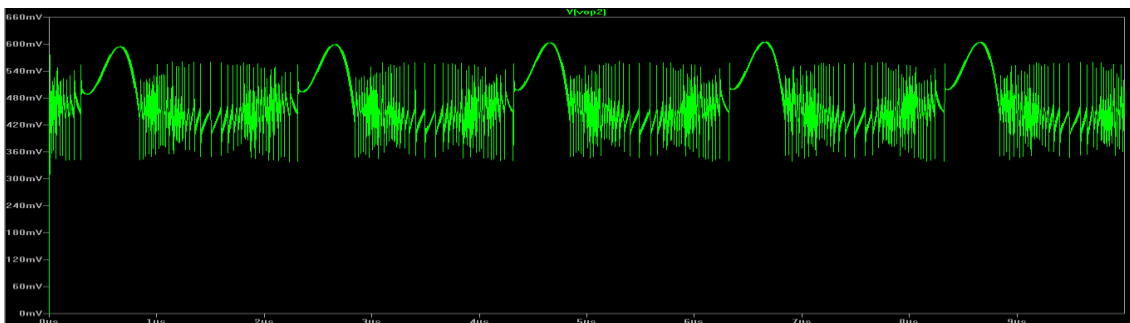


Figura 26 - Sinal de saída do segundo integrador

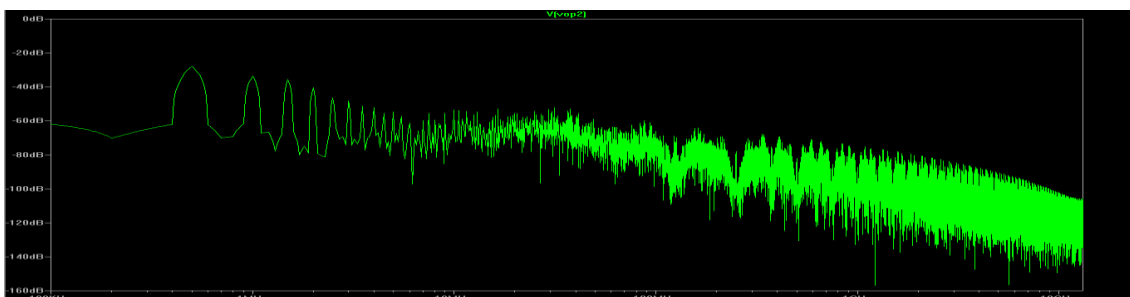


Figura 27 - Espectro na frequência (transformada de Fourier) do sinal de saída do segundo integrador

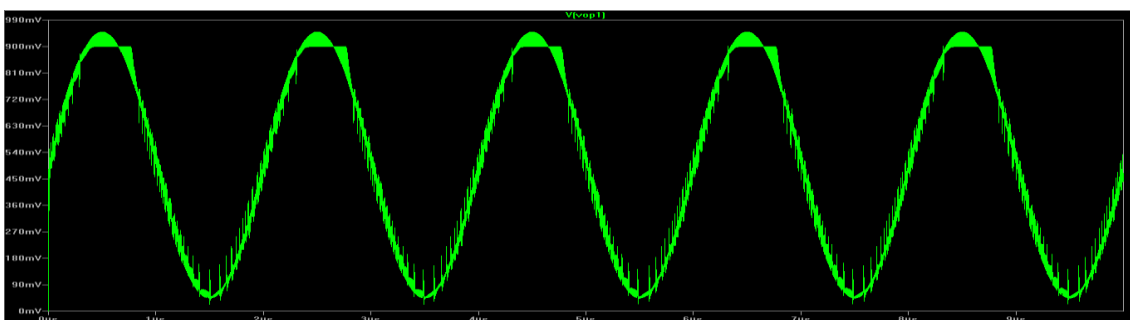
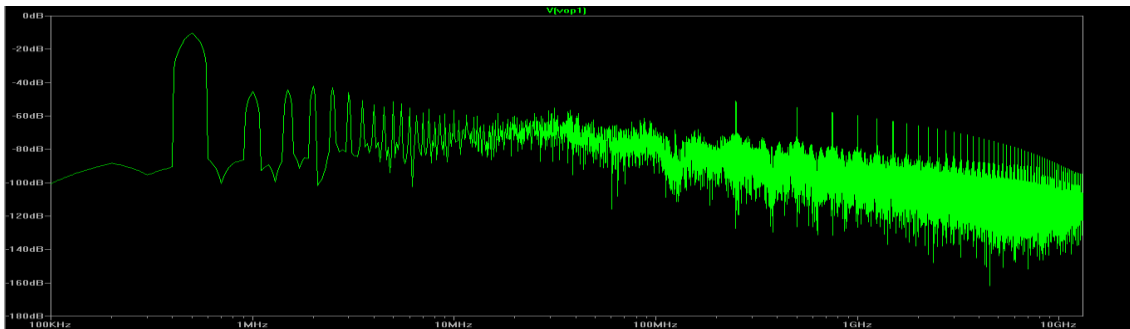


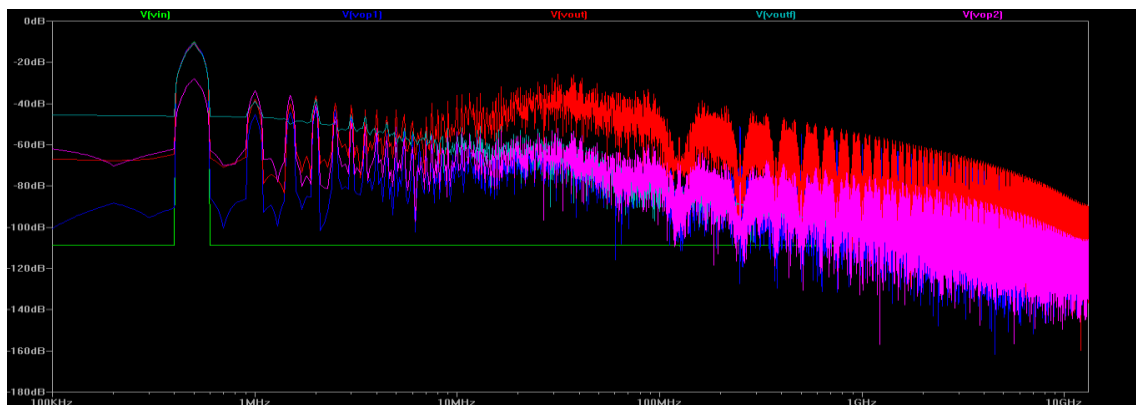
Figura 28 - Sinal de saída do primeiro integrador



**Figura 29 - Espectro na frequência (transformada de Fourier) do sinal de saída do primeiro integrador**

Como se pôde verificar pelas figuras dos sinais, os comportamentos, a saturação “molda” a forma do sinal, havendo mais conteúdo harmônico. Assim o comportamento na frequência de cada saída será diferente.

À semelhança do modulador sem saturação, sobrepõem-se os espectros para se ter uma melhor noção do que estava a acontecer (figura 30).



**Figura 30 - Espectros na frequência do sinal de entrada (verde), da saída do primeiro integrador (azul escuro), da saída do segundo integrador (magenta), do sinal de saída do modulador não filtrado (vermelho) e do sinal de saída do modulador filtrado (cyan)**

Como seria de esperar, por haver saturação nos integradores, existe mais conteúdo harmônico, como se pode verificar na figura 30.

# CONCLUSÃO

No geral, o trabalho correspondeu às expectativas, na medida em que se pôde observar as SNDR dos diferentes sinais. Foi possível ver também os efeitos que o filtro causou nos diferentes sinais de saída dos integradores, bem como no sinal de saída geral do modulador.

Foi possível observar também, o efeito que a saturação introduz nos sinais, bem como nos seus comportamentos na frequência e também nos SNDR.

As especificações bateram certo com as simulações efectuadas, quer no programa *MatLab*, quer no programa *LTSpice*. Também bateu certo simulações efectuadas no *MatLab* com as mesmas efectuadas no *LTSpice*.

Como opção, foi pedido para realizar a mesma simulação, mas com um modulador MASH (2+1). Não foi possível realizar devido a falta de tempo, mas encontra-se no anexo 4 uma tentativa de simulação do mesmo no programa *MatLab*.

# ANEXOS

```
%PARTE 2
```

```
%2.3
```

```
Vref=10^(5/20)
```

```
VQF = sqrt(2.5358*10^(-10)); %Vrms
```

```
Vlsb = Vref/2;
```

```
osr = ((Vlsb^2/12)*(pi^4/5)*(1/VQF^2))^(1/5) %osr=128%=2^7
```

```
%2.4
```

```
PNtotaldB = -89.9382; %dB
```

```
Pqf_dB = PNtotaldB-10; %dB
```

```
VQF = 10^(Pqf_dB/20) %Vrms
```

```
n = (1/2)*log2(Vref^2/VQF^2) %Porque não há efeito de distorção!!!
```

```
%2.5
```

```
%Eletronica III - Modulador Sigma-Delta
```

```
%%
```

```
clear all
```

```
%dimensionamento
```

```
%Especificações
```

```
fmax=16000;
```

```
vin_max=0.9; % rms
```

```
SINAD1=76;
```

```
vin_max_dBV=20*log10(vin_max/1);
```

```
vin_min=0.08e-3; %100 uVrms
```

```
SINAD2=8;
```

```
vin_min_dBV=20*log10(vin_min/1);
```

```
%nivel maximo em dBr (estimativa)
```

```
vin_max_dBr=-5;
```

```
Vref=vin_max*sqrt(2)/10^(vin_max_dBr/20)
```

```
%valor total do ruido do modulador
```

```
VN1_dBV=vin_max_dBV-SINAD1;
```

```
VN2_dBV=vin_min_dBV-SINAD2;
```

```
%escolher o ruido mais baixo como especificao
```

```
if VN1_dBV>VN2_dBV
```

```
    VN_dBV=VN2_dBV;
```

```
else
```

```
    VN_dBV=VN1_dBV;
```

```
end
```



```

% Ruído em dBr
factor=20*log10(sqrt(2)/Vref);
VN_dBr=VN_dBV+factor;

% Ruído em Vrms
VN=10^(VN_dBV/20)
VNQ=VN/2
VNT=VN*sqrt(3)/2

% cálculo da sobreamostragem
osr=((Vref/2)^2/12)*(pi^4/5)*1/VNQ^2)^(1/5)
osr=2^ceil(log(osr)/log(2))

Fs=fmax*2*osr

Vamp=vin_max*sqrt(2);

nbits=15;

b1=1;
b2=1;
K=2;

n=2^15; % número de pontos na simulação transiente
dec=round(Fs/48e3) % fator de decimação
nmedias=10;
fin=round(fmax/(14*0.8)/Fs*n)*Fs/n;

time=0:1/n:1-1/n;
% time_dec=0:dec/(n):1-dec/(n);
time_dec=0:dec/(n):1;

%
% declarar as variáveis
clear vin e1 x11 x21 y1 out1 out2 out3
vin=zeros(1,n);
e1=zeros(1,n);
x11=zeros(1,n)+1e-6;
x21=zeros(1,n)+1e-6;
y1=zeros(1,n);
x12=zeros(1,n)+1e-6;
z1=zeros(1,n);
z2=zeros(1,n);
z3=zeros(1,n);
out1=zeros(1,n);
out2=zeros(1,n);
out3=zeros(1,n);

%

Vamp = vin_min*sqrt(2):0.01:2*vin_max*sqrt(2);

```

```

for k=1:length(Vamp)
for i=2:n
    %sinal de entrada
    vin(i)=Vamp(k)*sin(2*pi*i*fin/Fs)+randn*VNT;
    %Modulador de segunda ordem 1
    % primeiro integrador
    b1=1;
    e1(i)=vin(i)-b1*y1(i-1)*Vref;
    x11(i)=e1(i)+x11(i-1); %saída do primeiro integrador
    % segundo integrador
    b2=1;
    x21(i)=x11(i)-b2*y1(i-1)*Vref;
    x12(i)=x21(i)+x12(i-1); %saída do segundo integrador
    %saída do modulador
    y1(i) = sign(x12(i));

    %Filtro decimador (sink1 sink2 sink3)
    z1(i)= z1(i-1)+y1(i)/dec;
    if i>dec
        out1(i)=z1(i)-z1((i-dec));
        z2(i)=z2(i-1)+out1(i)/dec;
        out2(i)=z2(i)-z2(floor(i-dec));
        z3(i)=z3(i-1)+out2(i)/dec;
        out3(i)=z3(i)-z3(floor(i-dec));
    else
        out1(i)=z1(i);
        z2(i)=z2(i-1)+out1(i)/dec;
        out2(i)=z2(i);
        z3(i)=z3(i-1)+out2(i)/dec;
        out3(i)=z3(i);
    end
end %for i

janela=      blackman(max(size(vin((0)+1:end))))';
janela_dec=  blackman(max(size(vin((0)+1:dec:end))))';

vin_f=fft(vin((0)+1:end).*janela);
%para obter dBr multiplicar por sqrt(2)*sqrt(2)
vin_fp=vin_f.*conj(vin_f)*(2/n)^2;

y1_f=fft(y1((0)+1:end).*janela);
y1_fp=y1_f.*conj(y1_f)*(2/n)^2;

% sync filter
out1_f=fft(out1((0)+1:end).*janela);
out1_fp=out1_f.*conj(out1_f)*(2/n)^2;

out2_f=fft(out2((0)+1:end).*janela);
out2_fp=out2_f.*conj(out2_f)*(2/n)^2;

out3_f=fft(out3((0)+1:end).*janela);
out3_fp=out3_f.*conj(out3_f)*(2/n)^2;

out3dec_f=fft(out3((0)+1:dec:end).*janela_dec);

```

```

out3dec_fp=out3dec_f.*conj(out3dec_f)*(2*dec/n)^2;

out=round(out3((0)+1:dec:end)*2^(nbits-1));      %quantificacao na saida
out_f=fft(out);
out_fp=out_f.*conj(out_f)*(2*dec/n)^2;

vin_fdB=20*log10(abs(2*vin_f)/n+1e-10);
y1_fdB=20*log10(abs(2*y1_f)/n+1e-10);
out1_fdB=20*log10(abs(2*out1_f)/n+1e-10);
out2_fdB=20*log10(abs(2*out2_f)/n+1e-10);
out3_fdB=20*log10(abs(2*out3_f)/n+1e-10);
out3dec_fdB=20*log10(abs(2*out3dec_f)/n+1e-10);
out_fdB=20*log10(abs(2*out_f)/n+1e-10);

a=fmax*n/Fs;
[valor signal_index] = max(y1_fp(1:a));
Psignal = sum(y1_fp(signal_index-3:signal_index+3));
Pnoise = sum(y1_fp(1:a)) - Psignal;
snr(k) = 10*log10(Psignal/Pnoise);      %SNDR/SINAD do sinal

vin_fdB_ =10*log10(vin_fp+1e-20);
y1_fdB_ =10*log10(y1_fp+1e-20);
out1_fdB_ =10*log10(out1_fp+1e-20);

out2_fdB_ =10*log10(out2_fp+1e-20);
out3_fdB_ =10*log10(out3_fp+1e-20);
out3dec_fdB_ =10*log10(out3dec_fp+1e-20);
out_fdB_ =10*log10(out_fp+1e-20);

out=10.^(out3dec_fdB_/10);
[valor signal_index] = max(out(1:a));

Psignal2 = sum(out(signal_index-3:signal_index+3));
Pnoise2 = sum(out(1:a)) - Psignal2;
snr2(k) = 10*log10(Psignal2/Pnoise2);    %SNDR do sinal filtrado

end

% plotting results

%%
%4.1 %SNDR do filtro decimador
figure(5)
plot(20*log10(Vamp/Vref),snr,'b')
grid on

```

```

hold on

plot(20*log10(Vamp/Vref),sindr2,'r')
grid on
title('SNDR do output do filtro (vermelho) e SINAD (azul)')

hold off

figure(6)
plot(20*log10(Vamp/Vref),sindr,'b')
grid on
title('SINAD')

```

Anexo1: Cálculo dos SNDR do filtro e da saída do modulador.

```

fmax=16000;
vin_max=0.9;      % rms
SINAD1=76;
vin_max_dBV=20*log10(vin_max/1);
vin_min=0.08e-3;  %100 uVrms
SINAD2=8;
vin_min_dBV=20*log10(vin_min/1);

%nivel maximo em dBr (estimativa)
vin_max_dBr=-5;
Vref=vin_max*sqrt(2)/10^(vin_max_dBr/20)

%valor total do ruido do modulador
VN1_dBV=vin_max_dBV-SINAD1;
VN2_dBV=vin_min_dBV-SINAD2;

%escolher o ruido mais baixo como especificao
if VN1_dBV>VN2_dBV
    VN_dBV=VN2_dBV;
else
    VN_dBV=VN1_dBV;
end

% Ruido em dBr
factor=20*log10(sqrt(2)/Vref);
VN_dBr=VN_dBV+factor;

%Ruido em Vrms
VN=10^(VN_dBV/20)
VNQ=VN/2
VNT=VN*sqrt(3)/2

%calculo da sobreamostragem
osr=((Vref/2)^2/12)*(pi^4/5)*1/VNQ^2)^(1/5)
osr=2^ceil(log(osr)/log(2))

Fs=fmax*2*osr

Vamp=vin_max*sqrt(2);

nbits=15;

```

```

b1=1;
b2=1;
K=2;

n=2^15; %numero de pontos na simulacao transiente
dec=round(Fs/48e3) %factor de decimacao
nmedias=10;
fin=round(fmax/(14*0.8)/Fs*n)*Fs/n;

time=0:1/n:1-1/n;
%time_dec=0:dec/(n):1-dec/(n);
time_dec=0:dec/(n):1;

%
%declarar as variaveis
clear vin e1 x11 x21 y1 out1 out2 out3
vin=zeros(1,n);
e1=zeros(1,n);
x11=zeros(1,n)+1e-6;
x21=zeros(1,n)+1e-6;
y1=zeros(1,n);
x12=zeros(1,n)+1e-6;
z1=zeros(1,n);
z2=zeros(1,n);
z3=zeros(1,n);
out1=zeros(1,n);
out2=zeros(1,n);
out3=zeros(1,n);

%

for i=2:n
    %sinal de entrada
    vin(i)=Vamp*sin(2*pi*i*fin/Fs)+randn*VNT;
    %Modulador de segunda ordem 1
    % primeiro integrador
    b1=1;
    e1(i)=vin(i)-b1*y1(i-1)*Vref;
    x11(i)=e1(i)+x11(i-1); %saída do primeiro integrador
    % segundo integrador
    b2=1;
    x21(i)=x11(i)-b2*y1(i-1)*Vref;
    x12(i)=x21(i)+x12(i-1); %saída do segundo integrador
    %saída do modulador
    y1(i) = sign(x12(i));

```

```

%Filtro decimador (sink1 sink2 sink3)
z1(i)= z1(i-1)+y1(i)/dec;
if i>dec
    out1(i)=z1(i)-z1((i-dec));
    z2(i)=z2(i-1)+out1(i)/dec;
    out2(i)=z2(i)-z2(floor(i-dec));
    z3(i)=z3(i-1)+out2(i)/dec;
    out3(i)=z3(i)-z3(floor(i-dec));
else
    out1(i)=z1(i);
    z2(i)=z2(i-1)+out1(i)/dec;
    out2(i)=z2(i);
    z3(i)=z3(i-1)+out2(i)/dec;
    out3(i)=z3(i);
end

end %for i

janela=      blackman(max(size(vin((0)+1:end))))';
janela_dec=  blackman(max(size(vin((0)+1:dec:end))))';

vin_f=fft(vin((0)+1:end).*janela);
%para obter dBr multiplicar por sqrt(2)*sqrt(2)
vin_fp=vin_f.*conj(vin_f)*(2/n)^2;

y1_f=fft(y1((0)+1:end).*janela);
y1_fp=y1_f.*conj(y1_f)*(2/n)^2;

% sync filter
out1_f=fft(out1((0)+1:end).*janela);
out1_fp=out1_f.*conj(out1_f)*(2/n)^2;

out2_f=fft(out2((0)+1:end).*janela);
out2_fp=out2_f.*conj(out2_f)*(2/n)^2;

out3_f=fft(out3((0)+1:end).*janela);
out3_fp=out3_f.*conj(out3_f)*(2/n)^2;

out3dec_f=fft(out3((0)+1:dec:end).*janela_dec);
out3dec_fp=out3dec_f.*conj(out3dec_f)*(2*dec/n)^2;

out=round(out3((0)+1:dec:end)*2^(nbits-1));      %quantificacao na saida
out_f=fft(out);
out_fp=out_f.*conj(out_f)*(2*dec/n)^2;

vin_fdBr=20*log10(abs(2*vin_f)/n+1e-10);
y1_fdBr=20*log10(abs(2*y1_f)/n+1e-10);
out1_fdBr=20*log10(abs(2*out1_f)/n+1e-10);
out2_fdBr=20*log10(abs(2*out2_f)/n+1e-10);
out3_fdBr=20*log10(abs(2*out3_f)/n+1e-10);
out3dec_fdBr=20*log10(abs(2*out3dec_f)/n+1e-10);
out_fdBr=20*log10(abs(2*out_f)/n+1e-10);

a=fmax*n/Fs;

```

```

[valor signal_index] = max(y1_fp(1:a));
Psignal = sum(y1_fp(signal_index-3:signal_index+3));
Pnoise = sum(y1_fp(1:a)) - Psignal;
snr = 10*log10(Psignal/Pnoise)    %SNDR/SINAD do sinal

vin_fdBBr_ = 10*log10(vin_fp+1e-20);
y1_fdBBr_ = 10*log10(y1_fp+1e-20);
out1_fdBBr_ = 10*log10(out1_fp+1e-20);

out2_fdBBr_ = 10*log10(out2_fp+1e-20);
out3_fdBBr_ = 10*log10(out3_fp+1e-20);
out3dec_fdBBr_ = 10*log10(out3dec_fp+1e-20);
out_fdBBr_ = 10*log10(out_fp+1e-20);

out = 10.^(out3dec_fdBBr_/10);
[valor signal_index] = max(out(1:a));

Psignal2 = sum(out(signal_index-3:signal_index+3));
Pnoise2 = sum(out(1:a)) - Psignal2;
snr2 = 10*log10(Psignal2/Pnoise2)    %SNDR do sinal filtrado

% plotting results

figure(1)
plot(time, vin, 'r', time, out1, 'b', time, out2, 'g', time, out3, 'm')
hold on
plot(time_dec, out3(1:dec:n), 'wo')
hold off

f = 1:max(size(vin_fdBBr_));
f = (f-1)*Fs/f(end);

figure(2)
semilogx(f(1:end/2), vin_fdBBr_(1:end/2), 'r', f(1:end/2), out1_fdBBr_(1:end/2), 'b', f(1:end/2), out2_fdBBr_(1:end/2), 'm', f(1:end/2), out3_fdBBr_(1:end/2), 'c')
legend('r;vin;', 'g;y;', 'b;out1;', 'm;out2;', 'c;out3;')
grid on

figure(3)
semilogx(f(1:end/2), vin_fdBBr_(1:end/2), 'r', f(1:end/2), y1_fdBBr_(1:end/2), 'b')
grid on

figure(4)
f_dec = f(1:dec:end)/dec;

```

```

plot(f_dec(1:end/2),out3dec_fdBr_(1:end/2),'r')
grid on
title('out decimado')

```

## Anexo2: Verificação das especificações

%4.2

%Eletronica III - Modulador Sigma-Delta

%%

clear all

%dimensionamento

%Especificações

fmax=16000;

vin\_max=0.9; % rms

SINAD1=76;

vin\_max\_dBV=20\*log10(vin\_max/1);

vin\_min=0.08e-3; %100 uVrms

SINAD2=8;

vin\_min\_dBV=20\*log10(vin\_min/1);

%nivel maximo em dBr (estimativa)

vin\_max\_dBr=-5;

Vref=vin\_max\*sqrt(2)/10^(vin\_max\_dBr/20)

%valor total do ruido do modulador

VN1\_dBV=vin\_max\_dBV-SINAD1;

VN2\_dBV=vin\_min\_dBV-SINAD2;

%escolher o ruido mais baixo como especificao

if VN1\_dBV>VN2\_dBV

    VN\_dBV=VN2\_dBV;

else

    VN\_dBV=VN1\_dBV;

end

% Ruido em dBr

factor=20\*log10(sqrt(2)/Vref);

VN\_dBr=VN\_dBV+factor;

%Ruido em Vrms

VN=10^(VN\_dBV/20)

VNQ=VN/2

VNT=VN\*sqrt(3)/2

%calculo da sobreamostragem

osr=((Vref/2)^2/12)\*(pi^4/5)\*1/VNQ^2)^(1/5)

osr=2^ceil(log(osr)/log(2))

Fs=fmax\*2\*osr

Vamp=vin\_max\*sqrt(2);

nbits=15;



```

b1=1;
b2=1;
K=2;

n=2^15; %numero de pontos na simulacao transiente
dec=round(Fs/48e3) %factor de decimacao
nmedias=10;
fin=round(fmax/(14*0.8)/Fs*n)*Fs/n;

time=0:1/n:1-1/n;
%time_dec=0:dec/(n):1-dec/(n);
time_dec=0:dec/(n):1;

%
%declarar as variaveis
clear vin e1 x11 x21 y1 out1 out2 out3
vin=zeros(1,n);
e1=zeros(1,n);
x11=zeros(1,n)+1e-6;
x21=zeros(1,n)+1e-6;
y1=zeros(1,n);
x12=zeros(1,n)+1e-6;
z1=zeros(1,n);
z2=zeros(1,n);
z3=zeros(1,n);
out1=zeros(1,n);
out2=zeros(1,n);
out3=zeros(1,n);

%

sat=12;

Vamp = vin_min*sqrt(2):0.01:2*vin_max*sqrt(2);

for k=1:length(Vamp)
for i=2:n
    %sinal de entrada
    vin(i)=Vamp(k)*sin(2*pi*i*fin/Fs)+randn*VNT;
    %Modulador de segunda ordem 1
    % primeiro integrador
    b1=1;
    e1(i)=vin(i)-b1*y1(i-1)*Vref;
    x11(i)=e1(i)+x11(i-1); %saída do primeiro integrador
    if x11(i)>sat
        x11(i)=sat;
    else
        if x11(i)<=-sat
            x11(i)=-sat;
        end
    end
end
% segundo integrador
b2=1;

```

```

x21(i)=x11(i)-b2*y1(i-1)*Vref;
x12(i)=x21(i)+x12(i-1);    %saída do segundo integrador
if x12(i)>sat
    x12(i)=sat;
else
    if x12(i)<-sat
        x12(i)=-sat;
    end
end
%saída do modulador
y1(i) = sign(x12(i));
if y1(i)>sat
    y1(i)=sat;
else
    if y1(i)<-sat
        y1(i)=-sat;
    end
end

%Filtro decimador (sink1 sink2 sink3)
z1(i)= z1(i-1)+y1(i)/dec;
if i>dec
    out1(i)=z1(i)-z1((i-dec));
    z2(i)=z2(i-1)+out1(i)/dec;
    out2(i)=z2(i)-z2(floor(i-dec));
    z3(i)=z3(i-1)+out2(i)/dec;
    out3(i)=z3(i)-z3(floor(i-dec));
else
    out1(i)=z1(i);
    z2(i)=z2(i-1)+out1(i)/dec;
    out2(i)=z2(i);
    z3(i)=z3(i-1)+out2(i)/dec;
    out3(i)=z3(i);
end

end %for i

janela=    blackman(max(size(vin((0)+1:end))))';
janela_dec= blackman(max(size(vin((0)+1:dec:end))))';

vin_f=fft(vin((0)+1:end).*janela);
%para obter dBr multiplicar por sqrt(2)*sqrt(2)
vin_fp=vin_f.*conj(vin_f)*(2/n)^2;

y1_f=fft(y1((0)+1:end).*janela);
y1_fp=y1_f.*conj(y1_f)*(2/n)^2;

% sync filter
out1_f=fft(out1((0)+1:end).*janela);
out1_fp=out1_f.*conj(out1_f)*(2/n)^2;

out2_f=fft(out2((0)+1:end).*janela);
out2_fp=out2_f.*conj(out2_f)*(2/n)^2;

out3_f=fft(out3((0)+1:end).*janela);
out3_fp=out3_f.*conj(out3_f)*(2/n)^2;

```

```

out3dec_f=fft(out3((0)+1:dec:end).*janela_dec);
out3dec_fp=out3dec_f.*conj(out3dec_f)*(2*dec/n)^2;

out=round(out3((0)+1:dec:end)*2^(nbits-1));      %quantificacao na saida
out_f=fft(out);
out_fp=out_f.*conj(out_f)*(2*dec/n)^2;

vin_fdB=20*log10(abs(2*vin_f)/n+1e-10);
y1_fdB=20*log10(abs(2*y1_f)/n+1e-10);
out1_fdB=20*log10(abs(2*out1_f)/n+1e-10);
out2_fdB=20*log10(abs(2*out2_f)/n+1e-10);
out3_fdB=20*log10(abs(2*out3_f)/n+1e-10);
out3dec_fdB=20*log10(abs(2*out3dec_f)/n+1e-10);
out_fdB=20*log10(abs(2*out_f)/n+1e-10);

a=fmax*n/Fs;
[valor signal_index] = max(y1_fp(1:a));
Psignal = sum(y1_fp(signal_index-3:signal_index+3));
Pnoise = sum(y1_fp(1:a)) - Psignal;
snr(k) = 10*log10(Psignal/Pnoise);      %SNDR/SINAD do sinal

vin_fdB_ =10*log10(vin_fp+1e-20);
y1_fdB_ =10*log10(y1_fp+1e-20);
out1_fdB_ =10*log10(out1_fp+1e-20);

out2_fdB_ =10*log10(out2_fp+1e-20);
out3_fdB_ =10*log10(out3_fp+1e-20);
out3dec_fdB_ =10*log10(out3dec_fp+1e-20);
out_fdB_ =10*log10(out_fp+1e-20);

out=10.^(out3dec_fdB_/10);
[valor signal_index] = max(out(1:a));
if signal_index<=2
    Psignal2 = sum(out(signal_index:signal_index+3));
else
    Psignal2 = sum(out(signal_index-3:signal_index+3));
end
Pnoise2 = sum(out(1:a)) - Psignal2;
snr2(k) = 10*log10(Psignal2/Pnoise2);      %SNDR do sinal filtrado

end

figure(5)
plot(20*log10(Vamp/Vref),snr,'b')
grid on

hold on

plot(20*log10(Vamp/Vref),snr2,'r')
grid on
title('SNDR')

```

```
figure(6)
plot(20*log10(Vamp/Vref),sndr,'b')
grid on
title('SNDR')
```

Anexo 3: Verificação do SNDR com saturação.

```
%-----MASH(2+1)-----%

fmax=16000;
vin_max=0.9;      % rms
SINAD1=76;
vin_max_dBV=20*log10(vin_max/1);
vin_min=0.08e-3;  %100 uVrms
SINAD2=8;
vin_min_dBV=20*log10(vin_min/1);

%nível máximo em dBr (estimativa)
vin_max_dBr=-5;
Vref=vin_max*sqrt(2)/10^(vin_max_dBr/20)

%valor total do ruído do modulador
VN1_dBV=vin_max_dBV-SINAD1;
VN2_dBV=vin_min_dBV-SINAD2;

%escolher o ruído mais baixo como especificação
if VN1_dBV>VN2_dBV
    VN_dBV=VN2_dBV;
else
    VN_dBV=VN1_dBV;
end

% Ruído em dBr
factor=20*log10(sqrt(2)/Vref);
VN_dBr=VN_dBV+factor;

%Ruído em Vrms
VN=10^(VN_dBV/20)
VNQ=VN/2
VNT=VN*sqrt(3)/2

%calculo da sobreamostragem
osr=((Vref/2)^2/12)*(pi^4/5)*1/VNQ^2)^(1/5)
osr=2^ceil(log(osr)/log(2))

Fs=fmax*2*osr

Vamp=vin_max*sqrt(2);

nbits=15;
```

```

b1=1;
b2=1;
K=2;

n=2^15; %numero de pontos na simulacao transiente
dec=round(Fs/48e3) %factor de decimacao
nmedias=10;
fin=round(fmax/(14*0.8)/Fs*n)*Fs/n;

time=0:1/n:1-1/n;
%time_dec=0:dec/(n):1-dec/(n);
time_dec=0:dec/(n):1;

%
%declarar as variaveis
clear vin e1 x11 x21 y1 out1 out2 out3
vin=zeros(1,n);
e1=zeros(1,n);
x11=zeros(1,n)+1e-6;
x21=zeros(1,n)+1e-6;
y1=zeros(1,n);
x12=zeros(1,n)+1e-6;
z1=zeros(1,n);
z2=zeros(1,n);
z3=zeros(1,n);
out1=zeros(1,n);
out2=zeros(1,n);
out3=zeros(1,n);
dout1=zeros(1,n);

%Modulador de primeira ordem (especificações)
vin2=zeros(1,n);
e2=zeros(1,n);
x2=zeros(1,n);
dout2=zeros(1,n);
%
dout=zeros(1,n);
z4=zeros(1,n);
out4=zeros(1,n);

for i=3:n
    %sinal de entrada
    vin(i)=Vamp*sin(2*pi*i*fin/Fs)+randn*VNT;
    %Modulador de segunda ordem 1
    % primeiro integrador
    b1=1;
    e1(i)=vin(i)-b1*dout1(i-1)*Vref;
    x11(i)=e1(i)+x11(i-1); %saída do primeiro integrador
    % segundo integrador
    b2=1;
    x21(i)=x11(i)-b2*dout1(i-1)*Vref;
    x12(i)=x21(i)+x12(i-1); %saída do segundo integrador
    %saída do modulador de primeira ordem
    dout1(i) = sign(x12(i));

    %entrada do modulador de primeira ordem
    vin2(i)=dout1(i)-x12(i);

```

```

e2(i)=vin2(i)-dout2(i);
x2(i)=e2(i-1)+x2(i);
dout2(i)=sign(x2(i));

%Lógica de cancelamento de ruído
dout(i)=dout1(i-1)-dout2(i)+2*dout2(i-1)-dout(i-2);

%Filtro decimador (sink1 sink2 sink3)
z1(i)= z1(i-1)+dout(i)/dec;
if i>dec
    out1(i)=z1(i)-z1(i-dec);
    z2(i)=z2(i-1)+out1(i)/dec;
    out2(i)=z2(i)-z2(floor(i-dec));
    z3(i)=z3(i-1)+out2(i)/dec;
    out3(i)=z3(i)-z3(floor(i-dec));
    z4(i)=z4(i-1)+out3(i)/dec;
    out4(i)=z4(i)-z4(floor(i-dec));
else
    out1(i)=z1(i);
    z2(i)=z2(i-1)+out1(i)/dec;
    out2(i)=z2(i);
    z3(i)=z3(i-1)+out2(i)/dec;
    out3(i)=z3(i);
    z4(i)=z4(i-1)+out3(i)/dec;
    out4(i)=z4(i);
end

end %for i

janela=      blackman(max(size(vin((0)+1:end))))';
janela_dec=  blackman(max(size(vin((0)+1:dec:end))))';

vin_f=fft(vin((0)+1:end).*janela);
%para obter dBr multiplicar por sqrt(2)*sqrt(2)
vin_fp=vin_f.*conj(vin_f)*(2/n)^2;

y1_f=fft(dout((0)+1:end).*janela);
y1_fp=y1_f.*conj(y1_f)*(2/n)^2;

% sync filter
out1_f=fft(out1((0)+1:end).*janela);
out1_fp=out1_f.*conj(out1_f)*(2/n)^2;

out2_f=fft(out2((0)+1:end).*janela);
out2_fp=out2_f.*conj(out2_f)*(2/n)^2;

out3_f=fft(out3((0)+1:end).*janela);
out3_fp=out3_f.*conj(out3_f)*(2/n)^2;

out4_f=fft(out4((0)+1:end).*janela);
out4_fp=out4_f.*conj(out4_f)*(2/n)^2;

% out3dec_f=fft(out3((0)+1:dec:end).*janela_dec);
% out3dec_fp=out3dec_f.*conj(out3dec_f)*(2*dec/n)^2;

```

```

out4dec_f=fft(out4((0)+1:dec:end).*janela_dec);
out4dec_fp=out4dec_f.*conj(out4dec_f)*(2*dec/n)^2;

out=round(out4((0)+1:dec:end)*2^(nbits-1));      %quantificao na saida
out_f=fft(out);
out_fp=out_f.*conj(out_f)*(2*dec/n)^2;

vin_fdB=20*log10(abs(2*vin_f)/n+1e-10);
y1_fdB=20*log10(abs(2*y1_f)/n+1e-10);
out1_fdB=20*log10(abs(2*out1_f)/n+1e-10);
out2_fdB=20*log10(abs(2*out2_f)/n+1e-10);
out3_fdB=20*log10(abs(2*out3_f)/n+1e-10);
out4_fdB=20*log10(abs(2*out4_f)/n+1e-10);
out4dec_fdB=20*log10(abs(2*out4dec_f)/n+1e-10);
out_fdB=20*log10(abs(2*out_f)/n+1e-10);

a=fmax*n/Fs;
[valor signal_index] = max(y1_fp(1:a));
Psignal = sum(y1_fp(signal_index-3:signal_index+3));
Pnoise = sum(y1_fp(1:a)) - Psignal;
snr = 10*log10(Psignal/Pnoise)      %SNDR/SINAD do sinal

vin_fdB_10=10*log10(vin_fp+1e-20);
y1_fdB_10=10*log10(y1_fp+1e-20);
out1_fdB_10=10*log10(out1_fp+1e-20);
out2_fdB_10=10*log10(out2_fp+1e-20);
out3_fdB_10=10*log10(out3_fp+1e-20);
out4_fdB_10=10*log10(out4_fp+1e-20);

out4dec_fdB_10=10*log10(out4dec_fp+1e-20);
out_fdB_10=10*log10(out_fp+1e-20);

out=10.^(out4dec_fdB_10/10);
[valor signal_index] = max(out(1:a));

Psignal2 = sum(out(signal_index-3:signal_index+3));
Pnoise2 = sum(out(1:a)) - Psignal2;
snr2 = 10*log10(Psignal2/Pnoise2)  %SNDR do sinal filtrado

% plotting results

figure(1)
plot(time,vin,'r',time,out1,'b',time,out2,'g',time,out3,'m',time,out4,
'y')
hold on

```

```

plot(time_dec,out3(1:dec:n),'wo')
hold off

f=1:max(size(vin_fdBr_));
f=(f-1)*Fs/f(end);

figure(2)
semilogx(f(1:end/2),vin_fdBr_(1:end/2),'r',f(1:end/2),out1_fdBr_(1:end/2),'b',f(1:end/2),out2_fdBr_(1:end/2),'m',f(1:end/2),out3_fdBr_(1:end/2),'c',f(1:end/2),out4_fdBr_(1:end/2),'y')
legend('r;vin;', 'g;y;', 'b;out1;', 'm;out2;', 'c;out3;')
grid on

figure(3)
semilogx(f(1:end/2),vin_fdBr_(1:end/2),'r',f(1:end/2),y1_fdBr_(1:end/2),'b')
grid on

figure(4)
f_dec=f(1:dec:end)/dec;
plot(f_dec(1:end/2),out4dec_fdBr_(1:end/2),'r')
grid on
title('out decimado')

```

#### Anexo 5: Tentativa de concretização do MASH (2+1)

```

B=16000;%Hz

%-----ADC-----%

f=48000;%Hz

THDmax=-78;%dB

A=0.9;%Vrms

SNRmin=8;%dB

Amin=0.08*10^(-3);%Vrms

%-----ADC-----%

%1.1
x1=20*log10(A);      %esboço da recta
x2=20*log10(Amin);   %
y1=76;
y2=8;

X=[x1 x2];
Y=[y1 y2];

X2=[x1 x2 1 1.1 1.2 1.5 1.6];
Y2=[y1 y2 y1 65 60 10 0];

figure(1)
plot(X,Y,'y')

```



```

hold on
plot(X2,Y2,'r')
title('Esboço da SINAD esperada (a vermelho)')
hold off

%%0 pior caso corresponde à amplitude mais longe dos 0dB

%1.2
Vref=10^(5/20);%Vrms -> -5=20*log(Vamp/Vref)

VampREF=sqrt(2)*Vref

%1.3
SNDR=SNRmin;

PSdB=20*log10(Amin)

PNtotaldB=PSdB-SNDR

%1.4
PNtotal=10^(PNtotaldB/10) %W

Pnq=PNtotal/4 %Vrms
Pnt=Pnq*3 %Vrms

Vnq_dB= 20*log10(sqrt(Pnq)) %dBV
Vnt_dB= 20*log10(sqrt(Pnt)) %dBV

```

Anexo 6: Consolidação das especificações